

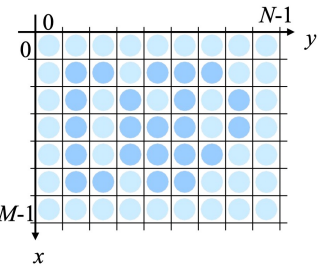
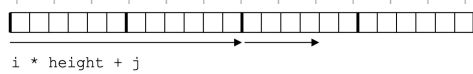
Bildergenschaften

Repräsentation eines Bildes

$$f(x, y) = \begin{bmatrix} f(0, 0) & \dots & f(0, N-1) \\ \vdots & & \vdots \\ f(M-1, 0) & \dots & f(M-1, N-1) \end{bmatrix}$$

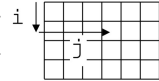
1D-Vektor (lakai Unrolling / Reshaping)

- Deklaration: `int img[height * width]`
- Zugriff auf Element $f(i, j)$: `img[i * height + j]`



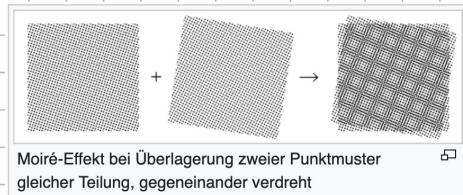
2D-Matrix

- Deklaration: `int img[height][width]`
- Zugriff auf Element $f(i, j)$: `img[i][j]`



Spatial Aliasing

irreversible Degradierung durch Artefakte wie zB Moiré-Effekt



Bits pro Pixel

Grayscale (Intensity Images):

Chan.	Bits/Pix.	Range	Use
1	1	0..1	Binary image: document, illustration, fax
1	8	0..255	Universal: photo, scan, print
1	12	0..4095	High quality: photo, scan, print
1	14	0..16383	Professional: photo, scan, print
1	16	0..65535	Highest quality: medicine, astronomy

Color Images:

Chan.	Bits/Pix.	Range	Use
3	24	[0..255] ³	RGB, universal: photo, scan, print
3	36	[0..4095] ³	RGB, high quality: photo, scan, print
3	42	[0..16383] ³	RGB, professional: photo, scan, print
4	32	[0..255] ⁴	CMYK, digital prepress

Special Images:

Chan.	Bits/Pix.	Range	Use
1	16	-32768..32767	Whole numbers pos./neg., increased range
1	32	$\pm 3.4 \cdot 10^{38}$	Floating point: medicine, astronomy
1	64	$\pm 1.8 \cdot 10^{308}$	Floating point: internal processing

Alpha-Channel bestimmt Transparenz eines Pixels



Example of an RGBA image composed over a checkerboard background. alpha is 0% at the top and 100% at the bottom.

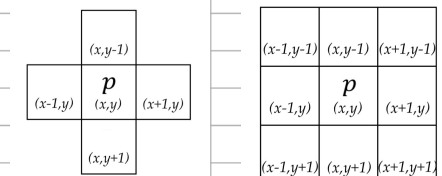
Datentypen

grundsätzlich uint, für Verarbeitung oft in float umgewandelt und am Ende wieder abt

Neighborhood

$N_4(p)$: Pixel und direkte Nachbarn (linke Abbildung)

$N_8(p)$: Pixel, direkte und diagonale Nachbarn (rechte Abbildung)



Adjacency

Zwei Pixel p und q sind adjacent falls $p \in N_4(q)$ oder $p \in N_8(q)$ UND ein Ähnlichkeits-Kriterium erfüllt ist

Pixeldistanz

zwei Pixel $p_1(x_1, y_1)$, $p_2(x_2, y_2)$ haben

- die euklidische Distanz $D_E = \sqrt{(x_1 - x_2)^2 + (y_1 - y_2)^2}$
- die Manhattan-Distanz $D_M = |x_1 - x_2| + |y_1 - y_2|$
- die Chessboard-Distanz $D_C = \max \{|x_1 - x_2|, |y_1 - y_2|\}$

D_E	$\begin{matrix} \sqrt{8} & \sqrt{5} & 2 & \sqrt{5} & \sqrt{8} \\ \sqrt{5} & \sqrt{2} & 1 & \sqrt{2} & \sqrt{5} \\ 2 & 1 & \textcolor{red}{0} & 1 & 2 \\ \sqrt{5} & \sqrt{2} & 1 & \sqrt{2} & \sqrt{5} \\ \sqrt{8} & \sqrt{5} & 2 & \sqrt{5} & \sqrt{8} \end{matrix}$
D_M	$\begin{matrix} 4 & 3 & 2 & 3 & 4 \\ 3 & 2 & 1 & 2 & 3 \\ 2 & 1 & \textcolor{red}{0} & 1 & 2 \\ 3 & 2 & 1 & 2 & 3 \\ 4 & 3 & 2 & 3 & 4 \end{matrix}$
D_C	$\begin{matrix} 2 & 2 & 2 & 2 & 2 \\ 2 & 1 & 1 & 1 & 2 \\ 2 & 1 & \textcolor{red}{0} & 1 & 2 \\ 2 & 1 & 1 & 1 & 2 \\ 2 & 2 & 2 & 2 & 2 \end{matrix}$

Intensitätsverteilungen und -transformationen

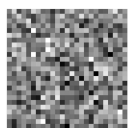
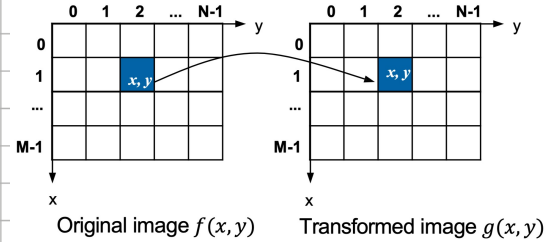
Histogramm

zeigt Anzahl Pixel für jeden Intensitätswert $k \in \{0, \dots, L-1\}$:

$$h(i_k) = n_k$$

Kann (wenn normalisiert!) als Wahrscheinlichkeitsverteilung aufgefasst werden:

$$p(i_k) = \frac{n_k}{M \cdot N}$$



Rauschen

Zwei wichtige Modelle:

- Salt-and-Pepper Rauschen: kleine Teilmenge der Pixel entweder Schwarz oder Weiß
- Gaussisches Rauschen: $g(x, y) = f(x, y) + \eta(x, y)$

Punktttransformationen

allgemein: $s = g(x, y) = T(f(x, y)) = T(r)$

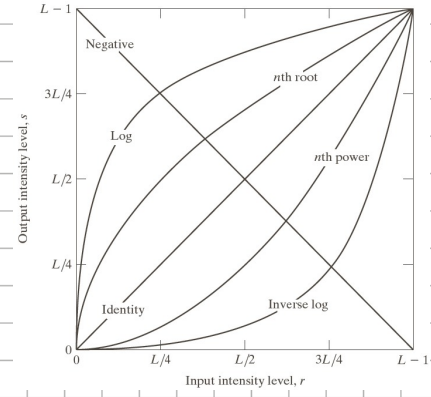
Negativ: r : $s = L-1-r$ wobei: $r \in \{0, \dots, L-1\}$

Log-T.: $s = C \log(1+r)$

Gamma-T.: $s = C r^\gamma$

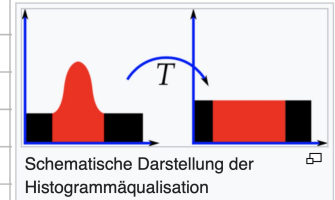
Lin. Kontr.-Streckung: $s = S_{\min} + (r - r_{\min}) \frac{S_{\max} - S_{\min}}{r_{\max} - r_{\min}}$

↳ um weniger sensibel von Ausreißern zu sein, kann man für r_{\min} und r_{\max} auch das 5te resp. 95te Percentil des Histogramms benutzen



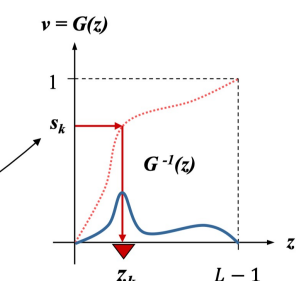
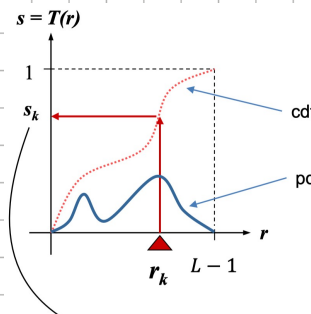
Histogrammqualisierung

$$s_k = T(r_k) = (L-1) \left(\text{DF}(r_k) = (L-1) \sum_{j=0}^k \frac{n_j}{M \cdot N} \right) = (L-1) \sum_{j=0}^k p_r(r_j)$$



Histogrammanpassung

1. PDF (normalisiertes Histogramm) $p_r(r_k)$ des ursprünglichen Bildes berechnen
2. $s_k = T(r_k) = (L-1) \sum_{j=0}^k p_r(r_j)$ berechnen (Histogrammqaq.)
3. aus ZielsHistogramm resp. Ziel-PDF $p_z(z_k)$ eine CDF resp. Look-Up-Table $s_k = G(z_k) = (L-1) \sum_{j=0}^q p_z(z_j)$ berechnen
4. $z_q = G^{-1}(s_k) = G^{-1}(T(r_k))$ für alle s_k in Look-Up-Table nachschauen



Filtrierung im Ortsraum

Ausgang-Pixel ist Linearkombination von den Pixelwerten in der Nachbarschaft des Eingang-Pixels:

$$g(x,y) = \sum_{m=-a}^a \sum_{n=-b}^b h(m,n) \cdot f(x+m, y+n)$$

Korrelation

Tiefpass-Filtrierung (Glätten)

Rauschen wird weniger, Kanten werden aber verwaschen

Boxfilter/Mittelwertfilter: \rightarrow separabel

$$H = \frac{1}{m^2} \begin{bmatrix} 1 & \dots & 1 \\ \vdots & \ddots & \vdots \\ 1 & \dots & 1 \end{bmatrix} \in \mathbb{R}^{m \times m}$$

Gaußfilter: \rightarrow separabel

$$H \text{ mit } h(x,y) = \frac{1}{2\pi\sigma^2} \exp\left(-\frac{x^2+y^2}{2\sigma^2}\right) = K \exp\left(-\frac{r^2}{2\sigma^2}\right)$$

Faltung vs. Korrelation

$$\text{Faltung: } (w * f)(x,y) = \sum_{s=-a}^a \sum_{t=-b}^b w(s,t) \cdot f(x-s, y-t)$$

$$\text{Korrelation: } (w \star f)(x,y) = \sum_{s=-a}^a \sum_{t=-b}^b w(s,t) \cdot f(x+s, y+t)$$

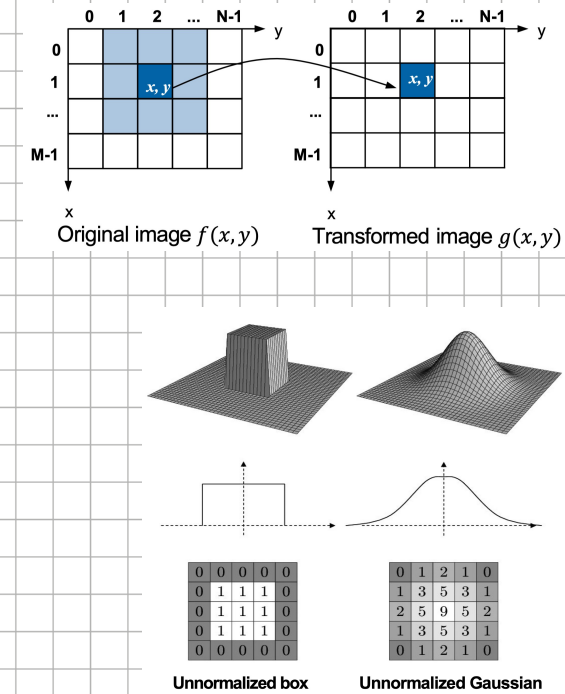
\rightarrow kommt bei symmetrischen Filterkernen nicht darauf an

Separable Filter

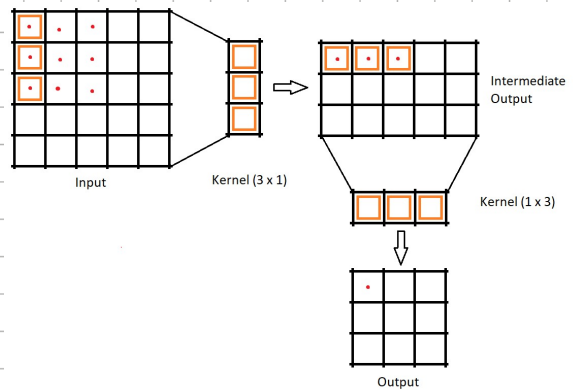
separierbare Kerne $w = w_1 * w_2$ sind rechnerisch vorteilhaft:

$$\begin{aligned} w * f &= (w_1 * w_2) * f = w_1 * (w_2 * f) \\ &= (w_2 * w_1) * f = w_2 * (w_1 * f) \end{aligned}$$

man kann zuerst mit dem einen und anschließend mit dem anderen filtern, was den Aufwand von $M \cdot N \cdot m \cdot n$ auf $M \cdot N \cdot (m+n)$ reduziert



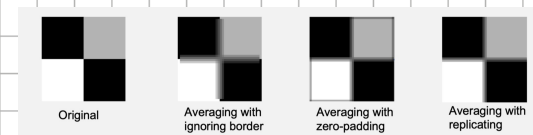
\rightarrow Kern um 180° drehen



Umgang mit Bildrändern

je nach Anwendung, 3 verbreitete Möglichkeiten:

- ignoriere: meist nicht empfohlen, da Ausgangsbild kleiner als Eingangsbild
- Zero-padding: einfach, kann aber zu Artefakten führen
- Rand-Pixel replizieren



Nichtlineare Filter

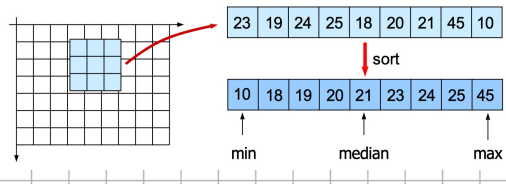
Ordnungstatistikfilter:

Filter-Ausgang hängt von Resultat der Sortierung der Pixel ab

\rightarrow gut um Ausreißer zu entfernen (e.g. Salz/Pfeffer Rauschen)

\rightarrow bewahrt Kanten relativ gut

\rightarrow rechnerisch aufwändig (erfordert sort()-Operation)



bilateraler Filter:
es werden nur Pixel verwendet, welche eine ähnliche Intensität wie das Pixel in der Mitte haben:

$$g[i,j] = \frac{1}{W_{sb}} \sum_m \sum_n f[m,n] N_{\sigma_s}[i-m, j-n] N_{\sigma_b}(f[m,n] - f[i,j])$$

mit $N_{\sigma_s}[m,n] = \frac{1}{2\pi\sigma_s^2} \exp(-\frac{1}{2} \frac{m^2+n^2}{\sigma_s^2})$, $N_{\sigma_b}(k) = \frac{1}{\sqrt{2\pi}\sigma_b} \exp(-\frac{1}{2} \frac{k^2}{\sigma_b^2})$ und $W_{sb} = \sum_m \sum_n N_{\sigma_s}[i-m, j-n] N_{\sigma_b}(f[m,n] - f[i,j])$

Hochpass-Filtrierung (Kantenanhebung)

Kanten und kleine Objekte bleiben, während uniforme Strukturen "versteckt" werden.

Unschärfe maskierung:

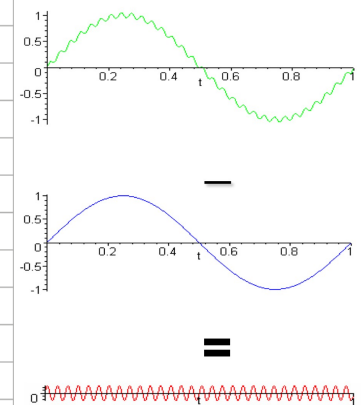
1. unscharfe Version des Bildes vom Original subtrahieren:

$$g_{\text{mask}}(x,y) = f(x,y) - \sum_{m=-a}^a \sum_{n=-b}^b h_{LP}(m,n) \cdot f(x+m, y+n)$$

2. resultierende Maske zum Original addieren:

$$g(x,y) = f(x,y) + k \cdot g_{\text{mask}}(x,y)$$

im Falle $k > 1$ spricht man auch von High-Pass-Filtrung



Ableitungsbasiertes Schärfen:

- Prewitt-Operator: → separabel

$$G_x = \begin{bmatrix} 1 & 0 & -1 \\ 0 & 1 & 0 \\ -1 & 0 & 1 \end{bmatrix} * I = \begin{bmatrix} 1 \\ 0 \\ -1 \end{bmatrix} [1 \ 0 \ -1] * I, \quad G_y = \begin{bmatrix} 1 & 1 & 1 \\ 0 & 0 & 0 \\ -1 & -1 & -1 \end{bmatrix} * I = \begin{bmatrix} 1 \\ 0 \\ -1 \end{bmatrix} [1 \ 1 \ 1] * I$$

$$\text{Gradientenbetrag: } G = \sqrt{G_x^2 + G_y^2}$$

- Sobel-Operator: → separabel

$$G_x = \begin{bmatrix} 1 & 0 & -1 \\ 2 & 0 & -2 \\ 0 & 0 & 0 \end{bmatrix} * I = \begin{bmatrix} 1 \\ 2 \\ 0 \end{bmatrix} [1 \ 0 \ -1] * I, \quad G_y = \begin{bmatrix} 1 & 2 & 1 \\ 0 & 0 & 0 \\ -1 & -2 & -1 \end{bmatrix} * I = \begin{bmatrix} 1 \\ 0 \\ -1 \end{bmatrix} [1 \ 2 \ 1] * I$$

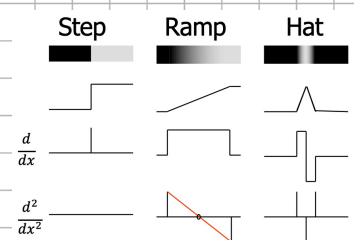
$$\text{Gradientenbetrag: } G = \sqrt{G_x^2 + G_y^2}$$

- Laplace-Filter-Kerne:

$$\nabla^2 f(x,y) = \frac{\partial^2}{\partial x^2} f(x,y) + \frac{\partial^2}{\partial y^2} f(x,y) \approx f(x+1,y) + f(x-1,y) + f(x,y+1) + f(x,y-1) - 4f(x,y)$$

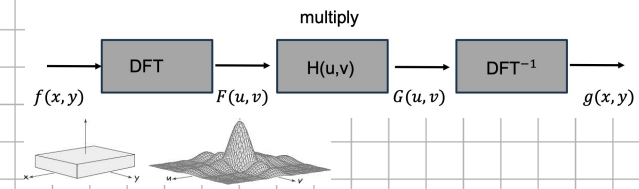
$$\Rightarrow \begin{bmatrix} 0 & 1 & 0 \\ 1 & -8 & 1 \\ 0 & 1 & 0 \end{bmatrix} \text{ (isotrop für } 90^\circ \text{ Drehungen)}, \quad \begin{bmatrix} 1 & 1 & 1 \\ 1 & -8 & 1 \\ 1 & 1 & 1 \end{bmatrix} \text{ (isotrop für } 45^\circ \text{ Drehungen)}$$

$$\text{Schärfen: } g(x,y) + c \cdot \nabla^2 f(x,y)$$



Filterung im Frequenzraum

für grosse Filterkerne effizienter als im Ortsraum (doppel FFT)



LSI - Systeme

der Ausgang eines linear verschlebungsinvarianten (Linear Shift Invariant) Systems kann durch Faltung des Eingangsbildes mit dem F. Kerntyp erhalten werden

2D Fourier Transformation

$$2D\text{-FT: } F(u,v) = \sum_{x=0}^{\infty} \sum_{y=0}^{\infty} f(x,y) e^{-j2\pi(ux+vy)} du dv$$

$$2D\text{-DFT: } F(u,v) = \sum_{x=0}^{M-1} \sum_{y=0}^{N-1} f(x,y) e^{-j2\pi(\frac{ux}{M} + \frac{vy}{N})}$$

$$\rightarrow \text{separabel: } \sum_{x=0}^{M-1} \sum_{y=0}^{N-1} f(x,y) e^{-j2\pi(\frac{ux}{M} + \frac{vy}{N})} = \sum_{x=0}^{M-1} \left(\sum_{y=0}^{N-1} f(x,y) e^{-j2\pi \frac{vy}{N}} \right) e^{-j2\pi \frac{ux}{M}} = \sum_{x=0}^{M-1} F(x,v) e^{-j2\pi \frac{ux}{M}} = F(u,v)$$

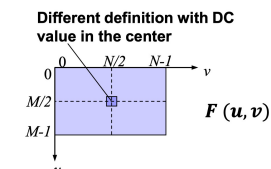
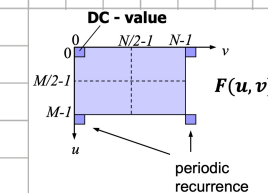
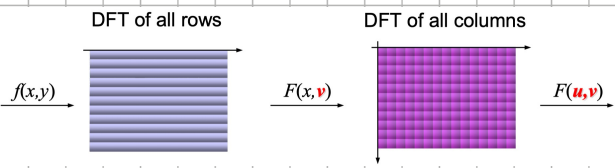
$$2D\text{-IDFT: } f(x,y) = \frac{1}{MN} \sum_{u=0}^{M-1} \sum_{v=0}^{N-1} F(u,v) e^{j2\pi(\frac{ux}{M} + \frac{vy}{N})}$$

$$\text{Faltung: } (f * h)(x,y) \quad \bullet \quad F \cdot H(u,v)$$

analog zu 1D treffen sich vier Viertelpérioden im Punkt $(\frac{M}{2}, \frac{N}{2})$

\rightarrow zum Anzeigen und Filtern ist es praktischer den DC-Wert zu zentrieren

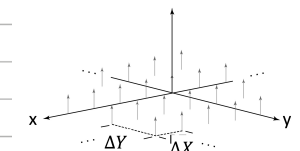
um einen höheren Dynamikbereich zu haben logarithmisch man das Betragspektrum zuordnen



Abtasttheorem in 2D

$$\text{abgetastetes Bild: } S_{\text{axial}}(x,y) = \sum_{m=-\infty}^{\infty} \sum_{n=-\infty}^{\infty} \delta(x-m\Delta X, y-n\Delta Y)$$

eine stetige, bandbegrenzte Funktion kann fehlerfrei aus ihren Samples rekonstruiert werden, wenn die Abtastintervalle $\Delta X < 1/2V_{\text{max}}$ und $\Delta Y < 1/2U_{\text{max}}$ betragen



Filtrierung

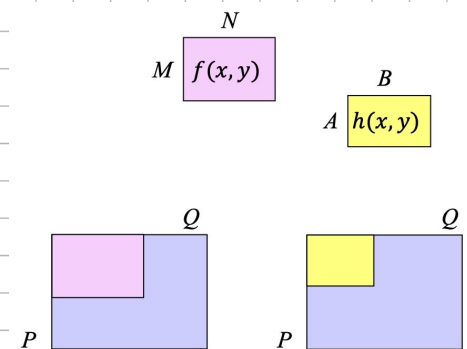
wie in 1D muss man auch in 2D angemessen mit Nullen auffüllen damit die Multiplikation im Frequenzraum der linearen und nicht der zirkulären Faltung im Ortsraum entspricht:

$$P \geq M + A - 1 \quad \text{und} \quad Q \geq N + B - 1$$

wobei $f(x,y)$ Größe $M \times N$ und $h(x,y)$ Größe $A \times B$ hat

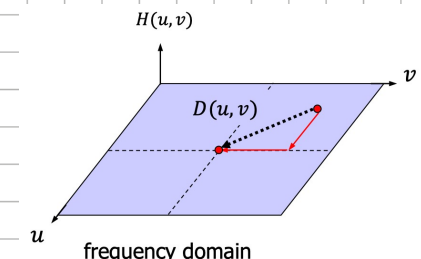
Vorgehen:

1. Padding-Parameter P und Q bestimmen
2. DFT: $F_{\text{pad}}(u,v) = \text{FFT}(f_{\text{pad}}(x,y))$, $H_{\text{pad}}(u,v) = \text{FFT}(h_{\text{pad}}(x,y))$
3. Multiplikation: $G_{\text{pad}}(u,v) = F_{\text{pad}}(u,v) \cdot H_{\text{pad}}(u,v)$
4. IDFT: $g_{\text{pad}}(x,y) = \text{Re}(\text{IFFT}(G_{\text{pad}}(u,v)))$
5. Bereich wählen: $g(x,y) = g_{\text{pad}}(?,?)$



Distanzmessung im Frequenzraum:

$D(u,v) = \text{euclidische Distanz von } (u,v) \text{ vom Ursprung}$



Tiefpassfilter

idealer TP:

$$H(u, v) = \begin{cases} 1 & D(u, v) \leq D_0 \\ 0 & D(u, v) > D_0 \end{cases}$$

Butterworth TP n^{ter} Ordnung: $H(u, v) = \frac{1}{1 + (D(u, v)/D_0)^{2n}}$

Gaußscher TP:

$$H(u, v) = \exp\left(-\frac{D^2(u, v)}{2\sigma^2}\right)$$



→ handelt sich um Artefakte

Hochpassfilter

TP-HP-Transformation: $H_{\text{HP}}(u, v) = 1 - H_{\text{TP}}(u, v)$

idealer HP:

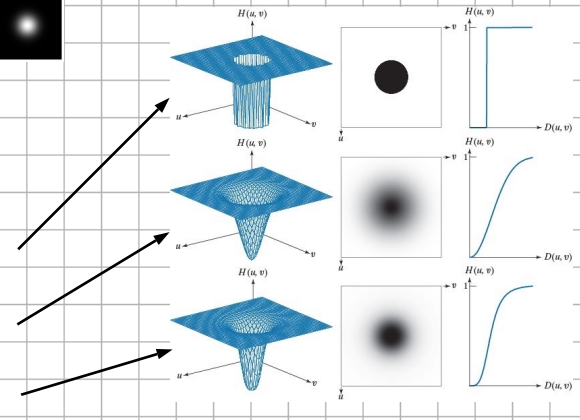
$$H(u, v) = \begin{cases} 0 & D(u, v) \leq D_0 \\ 1 & D(u, v) > D_0 \end{cases}$$

Butterworth HP n^{ter} Ordnung: $H(u, v) = \frac{1}{1 + (D_0/D(u, v))^{2n}}$

Gaußscher HP:

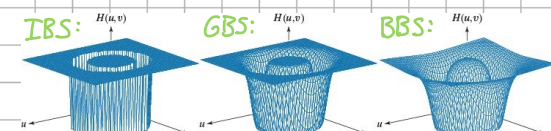
$$H(u, v) = 1 - \exp\left(-\frac{D^2(u, v)}{2\sigma^2}\right)$$

$$+ : 1 - \frac{1}{1 + (D(u, v)/D_0)^{2n}} = \frac{1 + (D(u, v)/D_0)^{2n}}{1 + (D(u, v)/D_0)^{2n}} - \frac{1}{1 + (D(u, v)/D_0)^{2n}} = \frac{(D(u, v)/D_0)^{2n}}{1 + (D(u, v)/D_0)^{2n}} = \frac{1}{(D(u, v)/D_0)^{-2n} + 1} = \frac{1}{1 + (D(u, v)/D_0)^{2n}}$$



Bandpass/-spalte

BP-BS-Transformation: $H_{\text{BS}}(u, v) = 1 - H_{\text{BP}}(u, v)$



Notch-Filiter

periodischer Rauschen entfernen → Notches am Ort der Impulse im Frequenzraum platziieren

Inverse Filterung

degradiertes Bild: $g(x, y) = f(x, y) * h(x, y)$ Verzerrungsprozess durch Filter $H(u, v)$ beschreiben

⇒ inverse Filterung: $\hat{F}(u, v) = \frac{G(u, v)}{H(u, v)} \bullet \circ f(x, y)$ Annäherung an das Originalbild

Wiener-Filter

Problem: Rauschen

inverse Filterung: $\hat{F}(u, v) = \frac{G(u, v)}{H(u, v)} = \frac{F(u, v) \cdot H(u, v) + \sigma^2}{H(u, v)}$

Annahme: additives Rauschen $N(u, v) = \sigma^2$ habe konstantes Leistungsspektrum

Wo $H(u, v)$ nahe 0 ist, nimmt $\hat{F}(u, v)$ enorme Werte an ⇒ Rauschen wird verstärkt

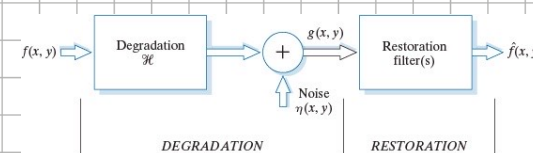
Lösung (Wiener-Filter):

$$\hat{F}(u, v) = \frac{G(u, v)}{H(u, v)} \cdot \left(\frac{1}{1 + \frac{NSR(u, v)}{|H(u, v)|^2}} \right) = \frac{H^*(u, v) G(u, v)}{|H(u, v)|^2 + NSR(u, v)}$$

mit Noise-to-Signal Ratio (NSR) wobei $NSR(u, v) = \frac{|N(u, v)|^2}{|H(u, v)|^2} = \frac{\text{Leistung des Rauschens bei } (u, v)}{\text{Leistung des ursprünglichen Bildes bei } (u, v)}$

typischerweise weder $N(u, v)$ noch $F(u, v)$ genau bekannt

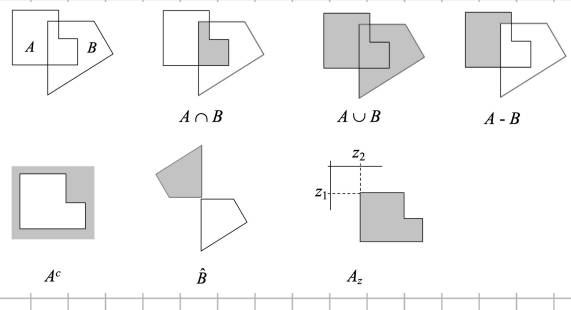
⇒ oft wird NSR als konstant angenommen resp. $NSR(u, v) = K$ (K als Tuning-Parameter verwenden)



Morphologische Bildverarbeitung

Mengenoperationen

$$\text{Differenz: } A - B = A \setminus B = A \cap B^c = \{z \mid (z \in A) \wedge (z \notin B)\}$$



$$\text{Reflexion/Punktspiegelung: } \hat{B} = \{w \mid w = -b, \text{ für } b \in B\}$$

$$\text{Translation: } (B)_z = \{c \mid c = b + z, \text{ für } b \in B\}$$

Strukturelemente (SE)

definieren Nachbarschaft und identifizieren welche Pixel verwendet werden sollen (können irgendehtwas sein)
als Matrix mit definiertem Umfang dargestellt

A^c	\hat{B}	A_z
-------	-----------	-------

Erosion und Dilatation

$$\text{Dilatation: } A \oplus B = \{z \mid (\hat{B}_z) \cap A \neq \emptyset\} = \{z \mid ((\hat{B}_z) \cap A) \subseteq A\}$$

$$\text{Erosion: } A \ominus B = \{z \mid (\hat{B})_z \subseteq A\} = \{z \mid (\hat{B})_z \cap A^c = \emptyset\}$$

verhalten sich bezüglich Komplementierung und Reflexion dual zueinander: $(A \ominus B)^c = A^c \oplus \hat{B}$, $(A \oplus B)^c = A^c \ominus \hat{B}$

Erosion und Dilatation kombinieren: Öffnen und Schließen

$$\text{Öffnen: } A \circ B = (A \ominus B) \oplus B = \bigcup \{(\hat{B})_z \mid (\hat{B})_z \subseteq A\}$$

→ geometrisch: alle Punkte p in A , sodass das Strukturelement B , um p platziert, in A enthalten ist

→ entfernt kleine Strukturen (kleiner als Strukturelement), glättet Konturen, öffnet ange Verbindungen, entfernt herumstehende Teile

$$\text{Schließen: } A \bullet B = (A \oplus B) \ominus B = \left(\bigcup \{(\hat{B})_z \mid (\hat{B})_z \cap A = \emptyset\} \right)^c$$

→ geometrisch: Strukturelement rollt auf Grenzen von A

→ glättet Konturen, schließt kleine Lücken und lange dicke Brüche, beseitigt kleine Löcher, füllt Löcher in den Kontur

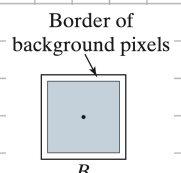
verhalten sich bezüglich Komplementierung und Reflexion dual zueinander: $(A \circ B)^c = A^c \bullet \hat{B}$, $(A \bullet B)^c = A^c \circ \hat{B}$

Hit-Or-Miss-Transformationen (HMT)

$$\text{Definition: } A \otimes B = (A \ominus B) \cap (A^c \oplus B) = \{z \mid ((\hat{B})_z \subseteq A \text{ und } (\hat{B})_z \cap A^c \neq \emptyset)\}$$

→ B_1 muss im Vordergrund enthalten sein und gleichzeitig B_2 im Hintergrund

→ Formen identifizieren: B_1 gemäß der gesuchten Form wählen und B_2 als einen Rahmen um B_1 wählen



Weitere Transformationen

$$\text{Rundstruktur: } \beta(A) = A - (A \ominus R)$$

Löchfüllung: 1. X_0 mit Nullen und in jedes Loch eine 1

2. Iterative: $X_k = (X_{k-1} \oplus B) \cap I^c$ bis $X_k = X_{k-1}$

Extraktion von binärer Komponenten: 1. X_0 mit Nullen und in jede zusammenhängende Struktur eine 1

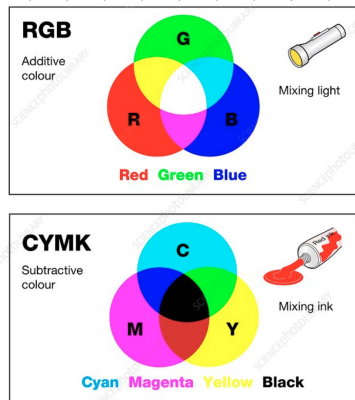
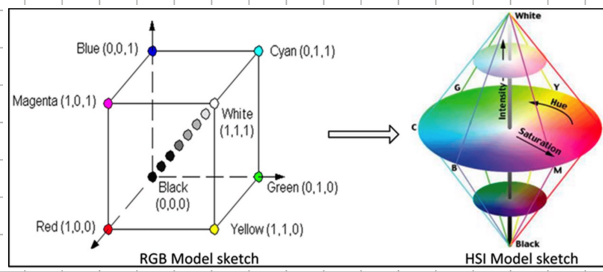
2. Iterative: $X_k = (X_{k-1} \oplus B) \cap I$ bis $X_k = X_{k-1}$

Farben

Farbmodelle

RGB- und CMY(k)-Modell:

$$\begin{bmatrix} C \\ M \\ Y \end{bmatrix} = \begin{bmatrix} 1 \\ 1 \\ 1 \end{bmatrix} - \begin{bmatrix} R \\ G \\ B \end{bmatrix}$$



HSI-Farbraum:

$$H = \begin{cases} \theta & \text{falls } B \leq G \\ 360^\circ - \theta & \text{falls } B > G \end{cases} \rightarrow \text{Hue (beschreibt dominante Farbe)}$$

$$\theta = \arccos\left(\frac{1}{2}((R-G)+(R-B)) / \sqrt{(R-G)^2 + (R-B)(G-B)}\right)$$

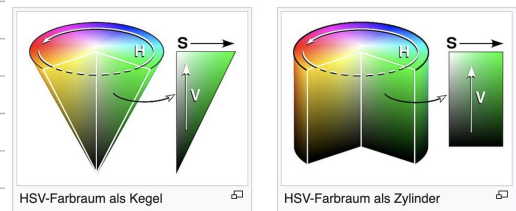
$$S = 1 - \frac{3}{R+G+B} \min(R, G, B) \rightarrow \text{Sättigung (misst wie stark reine Farbe durch Weiß verdünnt wird)}$$

$$I = \frac{1}{3}(R+G+B) \rightarrow \text{Lichtintensität}$$

HSV:

$$V = \max(R, G, B)$$

und auch leicht andere Formeln für H und S...



Farbbild in Graubild umwandeln

$$Y = w_R R + w_G G + w_B B \quad (w_R \approx 0.2, w_G \approx 0.7, w_B \approx 0.1)$$

Bildverarbeitung

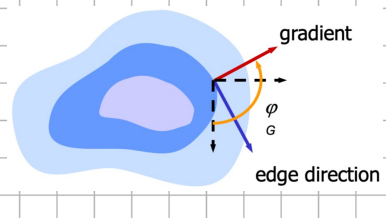
2 grundseitl. Herangehensweisen:

- Bild schrittweise behandeln und Kombination der einzelnen Ergebnisse
- gleichzeitige Behandlung aller Schichten

Linien und Kanten

Gradient

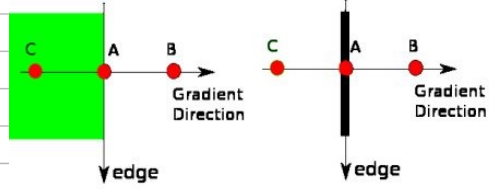
$$\nabla f(x, y) = \begin{bmatrix} G_x \\ G_y \end{bmatrix} \text{ resp. } |\nabla f(x, y)| = \sqrt{G_x^2 + G_y^2} \approx |G_x| + |G_y|, \quad \varphi_G = \arctan\left(\frac{G_y}{G_x}\right)$$



Canny Kanten Detektor

1. Bild mit Gaußfilter glätten um Rauschen zu unterdrücken

2. Gradient berechnen (Sobel, Prewitt, etc...)
→ Betrag und Winkel



3. Nicht-Maxima unterdrücken → r(x, y)

- in Gradientenrichtung nach Pixel mit höchstem Gradientenbetrag suchen → Kamm gebilden
- Kamm folgen (Richtung ist orthogonal zu Gradient)

4. Hysterese - Schwellenwertverarbeitung

a) Pixel mit $T_1 \leq r(x, y)$ welche großen Schwellenwert T_1 überschreiten werden direkt zu Kamm gezählt

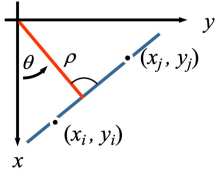
b) Zerklüftete Kämme mit tiefem Schwellenwert T_2 verbinden

→ Pixel mit $T_2 \leq r(x, y) < T_1$ werden zu Kamm gezählt, wenn ein Kammpixel in der 8-Nachbarschaft vorhanden ist

Hough Transformation für Linien

Problem mit Parametrisierung $b = y_k - a \cdot x_k$ ist dass für vertikale Linien $a \rightarrow \infty$ geht

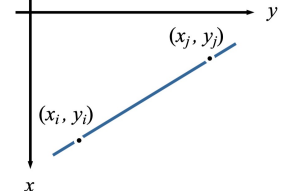
→ besser mit Hesse-Normal-Form parametrisieren: $x \cos(\theta) + y \sin(\theta) = \rho$



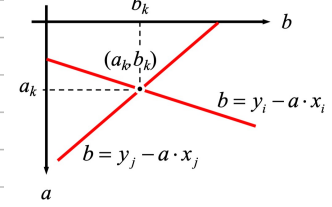
jeder Punkt in $f(x, y)$ wird in eine sinusoidale Kurve im Parameterraum (θ, ρ) transformiert

falls Kantengradienten verlässlich sind, kann man θ effizienter mit $\theta = \Theta_G = \arctan(2(G_y(x, y), G_x(x, y)))$ berechnen

Image Space



Parameter Space



optional kann man die Stimme zusätzlich mit dem Betrag des Gradienten gewichten

analog kann man bei Kreisen und anderen analytisch parametrisierbaren Formen vorgehen

Generalisierte Hough Transformation

Modell für Form: R-Tabelle

$$\Phi_k = \frac{2\pi \cdot k}{K}, [[r_{k,0}, \alpha_{k,0}], \dots, [r_{k,n}, \alpha_{k,n}]] \text{ wobei } k \in \{0, \dots, K-1\}$$

→ enthält für jeden Winkel Φ_k eine Liste aller Vektoren welche zum Anker (x_c, y_c) zeigen

Form im Bild suchen: Akkumulator-Matrix

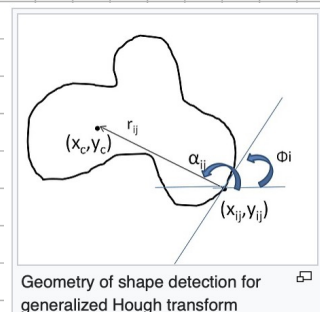
für jeden Punkt (x, y) im Bild den Winkel des Gradienten berechnen

in R-Tabelle entsprechende Liste suchen

für jeden Vektor (r, α) die Addition mit (x, y) berechnen für das Resultat (x_c, y_c) in der Akkumulator-Matrix stimmen

um verschiedene Orientierungen und Skalierungen zu berücksichtigen, muss man die Akkumulator-Matrix auf ein 4-dimensionalles Array erweitern, da das Resultat für jede Skalierung S und Orientierung berechnet werden muss

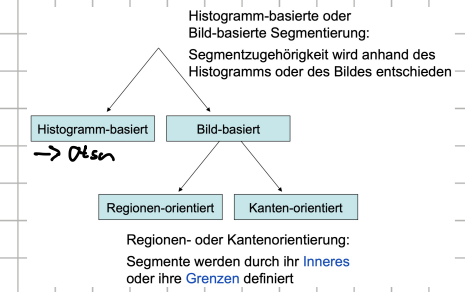
$$(x_c, y_c) = (x + S \cdot r \cdot \cos(\alpha + \theta), y + S \cdot r \cdot \sin(\alpha + \theta))$$



Segmentation

schwache Methode

1. T abhängen, e.g. Mittelpunkt zwischen Max'nen oder durchschnittliches Grauwert
2. Bild mit T_1 in G_1 ($\leq T_1$) und G_2 ($> T_1$) segmentieren
3. durchschnittlichen Wert m_1 und m_2 in G_1 resp. G_2 bestimmen
4. $T_{n+1} = \frac{1}{2}(m_1 + m_2)$
5. falls $|T_{n+1} - T_n| < \epsilon$ Abbruch sonst wiederholen



Otsu Methode

Klassenvarianzen:

$$\begin{aligned}\sigma_1^2(k) &= \frac{1}{P_1(k)} \sum_{i=0}^{k-1} p(i)(i - m_1(k))^2 \\ \sigma_2^2(k) &= \frac{1}{P_2(k)} \sum_{i=k}^{L-1} p(i)(i - m_2(k))^2\end{aligned}$$

$$\text{mit } m_1(k) = \frac{1}{P_1(k)} \sum_{i=0}^{k-1} p(i)i, \quad m_2(k) = \frac{1}{P_2(k)} \sum_{i=k}^{L-1} p(i)i, \quad P_1(k) = \sum_{i=0}^{k-1} p(i), \quad P_2(k) = \sum_{i=k}^{L-1} p(i)$$

Intra-Klassen-Varianz:

$$\sigma_w^2 = P_1 \sigma_1^2 + P_2 \sigma_2^2$$

Inter-Klassen-Varianz:

$$\sigma_B^2 = \sigma_G^2 - \sigma_w^2 = P_1(m_1 - m_G)^2 + P_2(m_2 - m_G)^2$$

$$\text{wobei: } \sigma_G^2 = \sum_{i=0}^{L-1} p(i)(i - m_G)^2 \quad \text{wobei: } m_G = \sum_{i=0}^{L-1} i \cdot p(i)$$

σ_B^2 kann man umschreiben:

$$\sigma_B^2(k) = P_1(k) P_2(k) (m_2(k) - m_1(k))^2 = \frac{(m_G P_1(k) - m(k))^2}{P_1(k)(1 - P_1(k))}$$

$$\text{mit } m(k) = \sum_{i=0}^{k-1} i \cdot p(i) = P_1(k) \cdot m_1(k)$$

Separabilitätsmaß: $\eta = \frac{\sigma_B^2}{\sigma_G^2}$ wobei nicht separierbar = 0 $\leq \eta(k) \leq 1$ = einfach separierbar

Otsu's Methode kann auch auf mehrere Schwellen ausgestattet werden

Globale Schwellen und Kanten

Rauschen färbt dazu die Histogrammuspitzen für lokale Objekte zu verschwinden
 → nur Pixel auf oder nahe der Kante berücksichtigen

Algorithmus:

1. Kanten finden
2. Kantenbild mit Schwellenverfahren binarisieren
3. originales Bild mit Binärbild aus Schritt 2 maskieren
4. Histogramm des maskierten Bildes aus Schritt 3 verwenden um Schwellenwert zu finden (e.g. Otsu, etc.)
5. originales Bild mit Schwellenwert aus Schritt 4 segmentieren

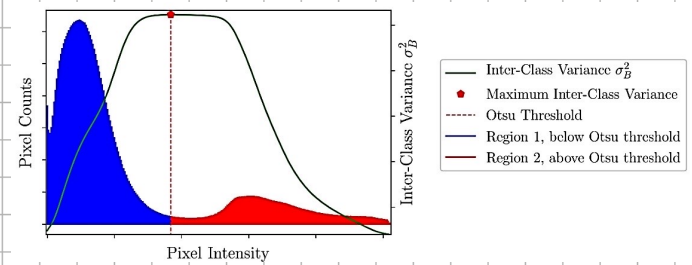
lokale Schwellen

→ z.B. basierend auf Mittelwert und Standardabweichung der Nachbarschaft:

$$T_{xy} = a \sigma_{xy} + b m_{xy} \quad \text{oder} \quad T_{xy} = a \sigma_{xy} + b m_G$$

mit $a, b > 0$

→ gibt viele weitere Möglichkeiten für lokale Schwellen...



Farben-Clustering

Fehlermaß:

$$J = \sum_{i=1}^k \sum_{\vec{x}_j \in S_i} \|\vec{x}_j - \vec{\mu}_i\|^2$$

proportional zur durchschnittlichen in-Klass-Varianz (wie bei Otsu)

mit der Menge S_i der Bildpunkte in Klasse i und dem Farzentrum $\vec{\mu}_i$ der Klasse i

K-Means - Algorithmus:

1. Startfarbe für alle K Klassen

2. Iterative Klasseneinteilung von Pixeln:

- a) Pixel $f(x,y)$ der Klasse hinzufügen, dessen Klassen-Varianz am wenigsten erhält
- b) Klassenmittelpunkt neu berechnen
- c) a) und b) wiederholen bis sich Klassenzugehörigkeit nicht mehr ändert

Morphologische Wasserscheiden

$g(x,y)$ Bild

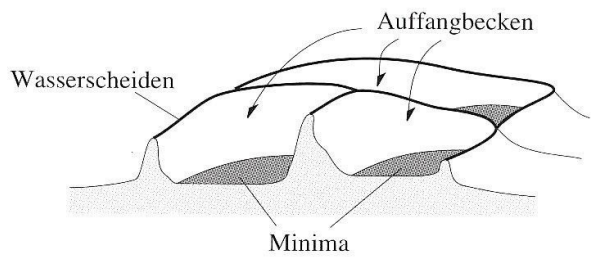
M_i Minimum des Bildes

$C(M_i)$ Einzugsgebiet vom Minimum M_i

$T[n]$ $\{s, t \mid g(s,t) < n\}$

$C_n(M_i)$ $C(M_i) \cap T[n]$

$C[n]$ $\bigcup_{i=1}^k C_n(M_i)$



Algorithmus startet mit $C[\min + 1] = T[\min + 1]$

berechnet rekursiv $C[n]$ aus $C[n-1]$, basierend auf der Beziehung zwischen q (eine verbundene Komponente in $T[n]$) und $C[n-1]$, wobei 3 Fälle auftreten können:

1. $q \cap C[n-1] = \emptyset$, was ein neues Minimum anzeigt und q wird zu $C[n-1]$ hinzugefügt um $C[n]$ zu bilden
2. $q \cap C[n-1]$ enthält eine Komponente von $C[n-1]$, und q wird in $C[n-1]$ integriert um $C[n]$ zu bilden
3. $q \cap C[n-1]$ enthält mehrere Komponenten, was einen Grat darstellt
⇒ mittels Dilatation von $q \cap C[n-1]$ wird ein Damm errichtet, um Überflutung zu verhindern

Feature - Extraktion

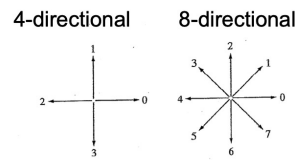


Randbasierte Deskriptoren

Ketten-Code

Encoder bewegt sich entlang der Grenze eines Objekts und überträgt bei jedem Schritt ein Symbol, das die Richtung dieser Bewegung darstellt

→ verlustlose Komprimierung von einem Objekt in einem Binärbild zu repräsentieren

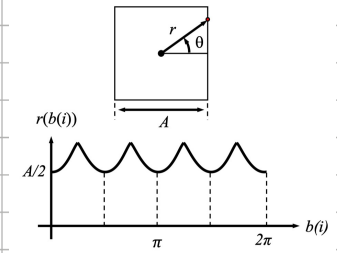


Sigmaturen

eindimensionale Darstellung der Grenze eines Objekts, nicht bedeckt auf Binärbildern
→ messen beginnend vom Referenzpunkt bis zum Schnittpunkt zur Grenze in Abhängigkeit von einem Winkel

→ translatoriumskonstant, aber grundsätzlich von Skalierung und Rotation abhängig

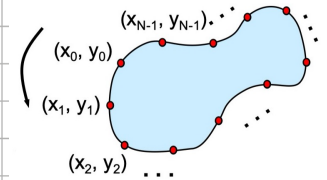
→ Modifizierung: auf maximal 1 stellen und beim Maximum Winkel = 0 setzen



Fourier-Deskriptoren

$$(x_i, y_i) \rightarrow x_i + j \cdot y_i \Rightarrow \vec{s}(k) = (x_0 + j y_0, \dots, x_{N-1} + j y_{N-1})^T$$

$$\vec{F}(u) = \text{FFT}(\vec{s}) = \sum_{k=0}^{N-1} \vec{s}(k) \cdot \exp(-2\pi j \frac{uk}{N})$$



Eigenschaften:

- Translation um t : $\vec{s}(k) \rightarrow \vec{s}(k) + t = \vec{s}(k) + t_x + j \cdot t_y$

$$\begin{aligned} \vec{F}_t(u) &= \sum_{k=0}^{N-1} (\vec{s}(k) + t) \cdot \exp(-2\pi j \frac{uk}{N}) \\ &= \underbrace{\sum_{k=0}^{N-1} \vec{s}(k) \cdot \exp(-2\pi j \frac{uk}{N})}_{\vec{F}(u)} + \underbrace{t \cdot \exp(-2\pi j \frac{uk}{N})}_{N \cdot t \text{ für } u=0, 0 \text{ sonst}} \end{aligned}$$

- Skalierung mit v : $\vec{s}(k) \rightarrow v \cdot \vec{s}(k)$

$$\vec{F}_s(u) = \sum_{k=0}^{N-1} v \cdot \vec{s}(k) \cdot \exp(-2\pi j \frac{uk}{N}) = v \cdot \sum_{k=0}^{N-1} \vec{s}(k) \cdot \exp(-2\pi j \frac{uk}{N}) = v \cdot \vec{F}(u)$$

- Rotation um φ : $\vec{s}(k) \rightarrow e^{j\varphi} \cdot \vec{s}(k)$

$$\vec{F}_r(u) = \sum_{k=0}^{N-1} e^{j\varphi} \cdot \vec{s}(k) \cdot \exp(-2\pi j \frac{uk}{N}) = e^{j\varphi} \cdot \sum_{k=0}^{N-1} \vec{s}(k) \cdot \exp(-2\pi j \frac{uk}{N}) = e^{j\varphi} \cdot \vec{F}(u)$$

- Reihenfolge schicken: $\vec{s}(k) \rightarrow \vec{s}(k-k_0)$

$$\begin{aligned} \vec{F}_{\text{sh}}(u) &= \sum_{k=0}^{N-1} \vec{s}(k-k_0) \cdot \exp(-2\pi j \frac{uk}{N}) = \sum_{k=0}^{N-1} \vec{s}(k) \cdot \exp(-2\pi j \frac{u(k+k_0)}{N}) \\ &= \exp(-2\pi j \frac{uk_0}{N}) \cdot \sum_{k=0}^{N-1} \vec{s}(k) \cdot \exp(-2\pi j \frac{uk}{N}) = e^{-2\pi j \frac{uk_0}{N}} \vec{F}(u) \end{aligned}$$

- Reihenfolge rückdrehen: $\vec{s}(k) \rightarrow \vec{s}(N-k)$

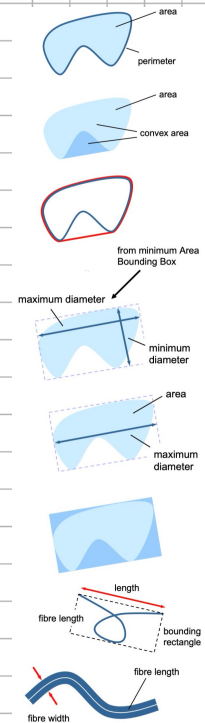
$$\begin{aligned} \vec{F}_{\text{dir}}(u) &= \sum_{k=0}^{N-1} \vec{s}(N-k) \cdot \exp(-2\pi j \frac{uk}{N}) = \sum_{k=0}^{N-1} \vec{s}(k) \cdot \exp(-2\pi j \frac{u(N-k)}{N}) \\ &= e^{-2\pi j \frac{uN}{N}} \sum_{k=0}^{N-1} \vec{s}(k) \cdot \exp(-2\pi j \frac{(N-u)k}{N}) = 1 \cdot \sum_{k=0}^{N-1} \vec{s}(k) \cdot \exp(-2\pi j \frac{(N-u)k}{N}) \\ &= \sum_{k=0}^{N-1} \vec{s}(k) \cdot 1 \cdot \exp(-2\pi j \frac{(N-u)k}{N}) = \sum_{k=0}^{N-1} \vec{s}(k) \cdot e^{-2\pi j \frac{uN}{N}} \cdot \exp(-2\pi j \frac{(N-u)k}{N}) \\ &= \sum_{k=0}^{N-1} \vec{s}(k) \cdot \exp(-2\pi j \frac{(N-u)k}{N}) = \vec{F}(N-u) \end{aligned}$$

Polygonzug → Liste der Eckpunkte in Uhrzeigerrichtung: $[\vec{p}_0, \vec{p}_1, \vec{p}_2, \dots, \vec{p}_{N-1}]$, $\vec{p}_i \in \mathbb{R}^2$

einfache Descriptoren

basiert auf Fläche und Umfang

Formfaktor Solidität Konkavität	$F = \frac{4\pi}{\text{Perimeter}^2}$ $S = \frac{\text{Fläche}}{\text{konvexe Fläche}}$ $C = \frac{\text{konvexer Umfang}}{\text{Umfang}}$
Seitenverhältnis Rundheit Komplizitheit	$A = \frac{\max_{\text{innerer}} \text{Durchmesser}}{\min_{\text{äußerer}} \text{Durchmesser}}$ $R = \frac{4}{\pi} \frac{\text{Fläche}}{(\max_{\text{innerer}} \text{Durchmesser})^2}$ $P = \sqrt{R}$
Ausdehnung Krümmung Drehung	$E = \frac{\text{Fläche}}{\text{Fläche umgeben des Rechtecks}}$ $C_r = \frac{\text{Länge}}{\text{Faserlänge}}$ $E_l = \frac{\text{Faserlänge}}{\text{Faserbreite}}$



Beschreibt für Fasern

flächenbasierte Descriptoren

se) $f(x,y)$ Binärbild der Größe $M \times N$, i.e. $f(x,y) \in \{0, 1\}^{M \times N}$

Momente der Ordnung $(p+q)$: $m_{pq} = \sum_{x=0}^{M-1} \sum_{y=0}^{N-1} x^p \cdot y^q \cdot f(x,y)$

zentrale Momente: $\mu_{pq} = \sum_{x=0}^{M-1} \sum_{y=0}^{N-1} (x-\bar{x})^p \cdot (y-\bar{y})^q \cdot f(x,y)$ $\bar{x} = \frac{m_{10}}{m_{00}}$, $\bar{y} = \frac{m_{01}}{m_{00}}$

geht auch für
Grayscalebild

Fläche: $m_{00} = \sum_{x=0}^{M-1} \sum_{y=0}^{N-1} f(x,y) = \sum_{\text{objekt}}$ → Anzahl Pixel in Objekt

Momente 1. Ordnung:

$$m_{10} = \sum_{x=0}^{M-1} \sum_{y=0}^{N-1} x \cdot f(x,y) = \sum_{\text{objekt}} x$$

$$m_{01} = \sum_{x=0}^{M-1} \sum_{y=0}^{N-1} y \cdot f(x,y) = \sum_{\text{objekt}} y$$

Koordinaten des Schwerpunkts:

$$M_x = \bar{x} = m_{10} / m_{00}$$

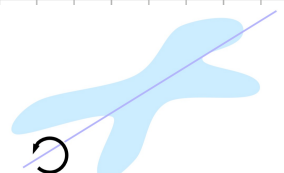
$$M_y = \bar{y} = m_{01} / m_{00}$$

Hauptachsen der Trägheit:

$$\Theta = \frac{1}{2} \arctan 2(2 \cdot M_{xy}, M_{xx} - M_{yy})$$

wobei $M_{xy} = m_{11} - \frac{m_{10} m_{01}}{m_{00}}$, $M_{xx} = m_{20} - \frac{m_{10}^2}{m_{00}}$, $M_{yy} = m_{02} - \frac{m_{01}^2}{m_{00}}$

Alternativ: PCA

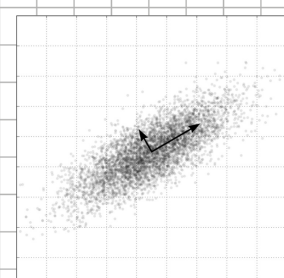


Pixel als Punktmasse: $(x_i^!, y_i^!)$
 → verschieben, sodass Schwerpunkt bei: $(x, y) = (0, 0)$

Matrix mit allen Pixeln: $A = \begin{bmatrix} x_1 & y_1 \\ \vdots & \vdots \\ x_n & y_n \end{bmatrix} = \begin{bmatrix} \vec{x}_1 \\ \vdots \\ \vec{x}_n \end{bmatrix}$

Hauptachse \vec{x} maximiert $\|A \vec{x}\|$, i.e. $\vec{x} = \arg \max_{\vec{x} \in \mathbb{R}^2, \|\vec{x}\|=1} \sum \vec{x}^T A^T A \vec{x}$

Lösung ist Eigenwert der Kovarianzmatrix $C := A^T A$ der mit dem größten Eigenwert assoziiert ist



zentralen Momente sind unabhängig von Translationen: $\mu_{pq} = \sum_{x=0}^{M-1} \sum_{y=0}^{N-1} (x-\bar{x})^p \cdot (y-\bar{y})^q \cdot f(x,y)$

independent of
 - translation
 - scale
 - rotation

normalisierte zentrale Momente:

$$\eta_{pq} = \frac{M_{pq}}{M_{00}^2} \quad \text{wobei} \quad \gamma = \frac{p+q}{2} + 1$$

Hu-Momente:

aus normalisierten zentralen Momenten kann man
 7 invariante Momente ableiten →

$$\Phi_1 = \eta_{20} + \eta_{02}$$

$$\Phi_2 = (\eta_{20} - \eta_{02})^2 + 4\eta_{11}^2$$

$$\Phi_3 = (\eta_{30} - 3\eta_{12})^2 + (3\eta_{21} - \eta_{03})^2$$

$$\Phi_4 = (\eta_{30} + \eta_{12})^2 + (\eta_{21} + \eta_{03})^2$$

$$\Phi_5 = (\eta_{30} - 3\eta_{12}) \cdot (\eta_{30} + \eta_{12}) \cdot [(\eta_{30} + \eta_{12})^2 - 3(\eta_{21} + \eta_{03})^2] + \\ (3\eta_{21} - \eta_{03}) \cdot (\eta_{21} + \eta_{03}) \cdot [3(\eta_{30} + \eta_{12})^2 - (\eta_{21} + \eta_{03})^2]$$

$$\Phi_6 = (\eta_{20} - \eta_{02}) \cdot [(\eta_{30} + \eta_{12})^2 - (\eta_{21} + \eta_{03})^2] + 4\eta_{11}(\eta_{30} + \eta_{12}) \cdot (\eta_{21} + \eta_{03})$$

$$\Phi_7 = (3\eta_{21} - \eta_{03}) \cdot (\eta_{30} + \eta_{12}) \cdot [(\eta_{30} + \eta_{12})^2 - 3(\eta_{21} + \eta_{03})^2] + \\ (3\eta_{12} - \eta_{30}) \cdot (\eta_{21} + \eta_{03}) \cdot [3(\eta_{30} + \eta_{12})^2 - (\eta_{21} + \eta_{03})^2]$$